

مطالعه تحلیلی فشار مجاز در شکل دهی بیلوزهای فلزی به روش هیدروفرمینگ

استادیار، دانشکده مهندسی مکانیک، دانشگاه صنعتی اراک، اراک، ایران

حامد دیلمی عضدی

دانش آموخته کارشناسی ارشد، دانشکده فنی و مهندسی، دانشگاه علوم و تحقیقات واحد مرکزی، اراک، ایران

عادل آزاد

استادیار، دانشکده مهندسی مکانیک، دانشگاه صنعتی اصفهان، اصفهان، ایران

مهردی سلمانی تهرانی*

دانشجوی کارشناسی ارشد، دانشکده مهندسی مکانیک، دانشگاه صنعتی اصفهان، اصفهان، ایران

زهرا دهقانیان

چکیده

بیلوزهای فلزی کاربردهای زیادی در صنایع مختلف از جمله هواپا، هسته‌های و پتروشیمی دارند. یکی از روش‌های تولید بیلوز، هیدروفرمینگ لوله است. پارامترهای زیادی در ساخت این قطعه تاثیرگذار هستند که می‌توان اصلی ترین پارامتر جهت ساخت این قطعات به روش هیدروفرمینگ لوله را فشار اعمالی سیال به لوله دانست. فشار اعمالی کم، موجب بروز عیوبی همچون چروکیدگی می‌شود و فشار زیاد سبب نازک‌شوندگی و در نهایت به پارگی می‌انجامد. در پژوهش‌های منتشرشده گذشته این فشار برای مواد مختلف به روش تحریی محاسبه و گزارش شده است. اما پایه نظری و کاربردی برای محاسبه فشار، بدون انجام آزمایش تجربی، پیشنهاد نشده است. در این مقاله برای به دست آوردن فشار مورد نیاز شکل دهی جهت مدل سازی تحلیلی، از نظریه مخزن‌های جداره‌نازک و همچنین از مدل مادی سوییفت استفاده شده است. مقایسه با نتایج تجربی موجود نشان می‌دهد فشار نهایی مجاز پیشنهاد شده از دقت خوبی در پیش‌بینی فشار شکل دهی مناسب برخوردار است.

واژه‌های کلیدی: بیلوز فلزی، هیدروفرمینگ لوله، فشار مجاز، مطالعه تحلیلی.

An Analytical Study of Allowable Pressure in Hydroforming of Metal Bellows

H. Deilami Azodi

Department of Mechanical Engineering, Arak University of Technology, Arak, Iran

A. Azad

Department of Engineering, Science and Research Branch, Islamic Azad University, Arak, Iran

M. Salmani Tehrani

Department of Mechanical Engineering, Isfahan University of Technology, Isfahan, Iran

Z. Dehghanian

Department of Mechanical Engineering, Isfahan University of Technology, Isfahan, Iran

Abstract

There are many industrial applications, such as in aerospace, nuclear and petrochemical industries, that involve using metal bellows. Tube hydroforming is the major process by which the metal bellows are produced. Although many parameters may affect the final product, the fluid pressure can be regarded as the most important parameter in hydroforming a metal bellows. Low pressure may result in some defects such as wrinkling. On the other hand a high pressure may lead to a highly thinning and even rupture. In the previous researches, no theoretical criterion has been proposed to predict the allowable forming pressure. In this paper, an analytical equation is proposed for determining the allowable pressure, based on thin-walled cylindrical vessels. Neglecting the elastic deformation, Swift equation along with von-misses yield criterion was used to model tube deformation. The analytically computed pressure compared with the existing experimental results and a close agreement was observed. This evidently shows the validity of the propose model.

Keywords: Metal Bellows, Tube Hydroforming, Allowable Pressure, Analytical Study.

تولید جهت رسیدن به دقت‌های ابعادی بالا در تولید بیلوزها است.



شکل ۱- نمونه یک بیلوز تولید شده به روش هیدروفرمینگ [۱]

۱- مقدمه

بیلوزهای فلزی لوله‌های کنگره‌ای شکل هستند که کاربردهای فراوانی، به ویژه به عنوان اتصال‌های اببساطی، در صنایع مختلف مانند نفت، گاز و پتروشیمی دارند (شکل ۱). به همین دلیل تحلیل شرایط ساخت آن‌ها از اهمیت ویژه‌ای برخوردار است. با مطالعه پژوهش‌های پیشین می‌توان دریافت که فرآیند هیدروفرمینگ^۲ مناسب‌ترین روش

¹Bellows

²Hydroforming

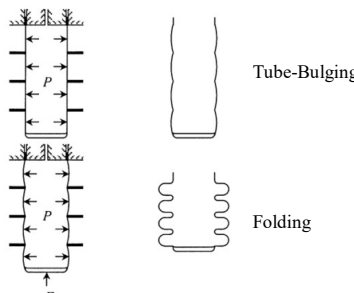
اگرچه روش‌های دیگری مانند فرآیند شکل‌دهی غلتکی^۱ و جوشکاری دیسک هم پیشنهاد شده است، اما ماهیت فرآیند جوشکاری به گونه‌ای است که امکان رسیدن به دقت‌های ابعادی بالا تضمین نمی‌شود. فرآیند شکل‌دهی غلتکی نیز عموماً برای تولید بیلوز‌های با قطر بالا استفاده می‌شود. آن‌گونه بیلوز‌ها کاربردهای ویژه‌ای دارند و تلرانس‌های بزرگتری برای آن‌ها در نظر گرفته می‌شود.

دو جنبه در ساخت بیلوز‌های فلزی دارای اهمیت است. نخست توجه به عوامل مؤثر بر ایجاد جریان مناسب ماده در قالب شکل‌دهی، به گونه‌ای که از بروز عیوبی همچون چروکیدگی، نازکشیدگی و نهایتاً پارگی جلوگیری شود. از سوی دیگر تولید قطعه با کیفیت بالا، توزیع ضخامت مناسب، قطر مورد نظر و فنریت کافی مورد توجه است. در این راستا پارامترهایی مانند نوع و خواص مکانیکی ماده، قطر اولیه و ضخامت لوله، کورس اولیه، میزان پیشروی، میزان فشار داخلی، نحوه اعمال فشار بر روی مشخصاتی مانند قطر خارجی بیلوز، طول بیلوز بعد از برگشت فنری و توزیع ضخامت نهایی اثرگذار است. از این‌رو باید اندازه و چگونگی این اثرگذاری بدسترسی شناخته و کنترل شود. اگرچه ممکن است پارامترهایی همچون خواص مکانیکی ماده و ابعاد اولیه از پیش مشخص باشند. اما می‌توان با تنظیم اندازه و نحوه اعمال فشار به هدف مورد نظر نزدیک شد.

پژوهش‌های انجام شده در گذشته بیشتر برروی کاربردها و عملکرد بیلوز متمرکز بوده است. فعالیت‌های انجام شده در مورد بررسی فرآیند شکل‌دهی این قطعات بسیار اندک است. همچنین اندک پژوهش‌های مرتبط با فرآیند شکل‌دهی به روش‌های تجربی و عددی بوده و راه کلی جهت تحلیل برای همه مواد آزمون به دست نیامده است. جاکوباسکاس و همکاران^[۲] تنش‌های ناشی از فشارهای داخلی، تغییرشکل‌های محوری و ارتعاشات را مورد بررسی قرار داده‌اند. ساتوئشی و همکاران^[۳] مشخصات دینامیکی بیلوز‌ها را بررسی کردند. بت^[۴] پژوهش‌های زیادی در ارتباط با بررسی و تخمین عمر خستگی و کمانش بیلوزها صورت داده است.

ژو و همکاران^[۵] اثرات نسبی محیط روی عمر خستگی بیلوز‌های U-شکل اتصال انساطی را بررسی کردند. کانگ^[۶] تحقیقاتی در مورد فرآیند شکل‌دهی بیلوز‌های لوله‌ای به شکل‌های مختلف و با استفاده از یک مرحله فرآیند لوله هیدروفرمینگ انجام داد. مقالات منتشرشده در زمینه شکل‌دهی بیلوز را محدود نمود. کانگ^[۷] پارامترهای مؤثر بر شکل‌دهی بیلوز را بررسی کرد. کانگ^[۸] تحقیقاتی در مورد فرآیند شکل‌دهی بیلوز‌های لوله‌ای به شکل‌های مختلف و با استفاده از یک مرحله فرآیند هیدروفرمینگ لوله انجام داد. او در آزمایش‌های خود از روش تک مرحله‌ای هیدروفرمینگ لوله استفاده نمود. این امر با کنترل همزمان فشار داخلی و حرکت محوری قالب صورت گرفت. فرجی و همکارانش^[۹] به مطالعه بر روی ساخت بیلوزها پرداختند. آن‌ها از ۴ مرحله مورد اشاره در تحقیق لی، دو مرحله نخست (کشش عمیق و اتوکاری) را حذف کرده و در عوض از لوله بدون درز در تولید بیلوز استفاده کردند. در تحقیق آن‌ها دو مرحله پایانی (بادکردگی^۲ و

تاشدگی^۳) با دو روش شبیه‌سازی اجزای محدود و آزمایش تجربی مورد مطالعه قرار گرفت. در عین حال در تحقیق آن‌ها برای اولین بار تاثیر نوع ماده بررسی شد.



شکل ۲- مراحل هیدروفرمینگ بیلوز فلزی از لوله [۷]

عرب‌بیگی و همکاران^[۱۰] اثر فشار بر شکل‌دهی بیلوزها را به صورت تجربی و تحلیلی بررسی کردند. الیاسی و همکاران^[۱۱] امکان شکل‌دهی بیلوز‌های فلزی را در قالب بسته به روش هیدروفرمینگ با استفاده از شبیه‌سازی عددی، مطالعه کردند. اصنافی هیدروفرمینگ^[۱۲] به بررسی تحلیلی هیدروفرمینگ لوله پرداخته است. پیرس و ایوانز^[۱۳] به تحلیل شکست بیلوز‌های فلزی انعطاف‌پذیر در فشارهای تناوبی پرداختند. آن‌ها بدجای اینکه فشار را یک‌مرتبه وارد کنند، در طول آزمون سهبار بارگذاری را انجام دادند. از آن‌جایی که این تحلیل منجر به شکست ناگهانی می‌شود، از نتایج هر آزمون برای بهبود آزمون‌های بعدی استفاده می‌شود.

شکل‌دهی بیلوز‌های فلزی از لوله را می‌توان مطابق شکل ۲ به دو مرحله به نام‌های بادکردگی و تاشدگی تقسیم کرد. در فرآیند تولید ابتدا فشار داخلی سیال افزایش پیدا می‌کند تا لوله به مقدار بیشینه تغییرشکل پلاستیک مجاز برسد. این میزان فشار باید در حدی باشد که تنش ناپایداری رخ ندهد. لازم به ذکر است فشار کم موجب بروز عیوبی همچون چروکیدگی شده و فشار زیاد نازکشیدگی و در نهایت پارگی را نتیجه می‌دهد. این مرحله، بادکردگی لوله نامیده می‌شود. پس از آن قالب ویژه شکل‌دهی تحت نیرو و سرعت مشخصی جمع می‌شود. در این مرحله، فشار کاری ثابت است و لوله مطابق قالب شکل می‌گیرد. این مرحله، تاشدگی نام دارد. پس از باز شدن قالب و برداشتن فشار هیدرولیک به دلیل برگشت فنری قطر بیلوز کم شده و طول آن افزایش می‌یابد. یادآوری می‌شود در هیدروفرمینگ بیلوز، برخلاف بادکردن (انبساط) آزاد لوله، تغذیه محوری به لوله اعمال نمی‌شود. این تفاوت در تحلیل حاضر با فرض بسته بودن استوانه (رابطه‌های (۲) و (۶) که در ادامه خواهند آمد) در نظر گرفته شده است.

در این مقاله پس از تعیین شدن مراحل شکل‌دهی و نحوه بارگذاری و اعمال فشار، به تحلیل جهت محاسبه فشار مناسب شکل‌دهی شده است باید از فشار معادل تسیلیم P_y بیشتر باشد و به حد P_c معرفی شده است باز از فشار معادل تسیلیم P_{cr} نرسد. جهت بررسی این مورد نیز روابط فشار معادل با ناپایداری، P_{cr} ، نرسد. جهت بررسی این مورد نیز روابط مدنظر برای محاسبه فشارهای حد تسیلیم و ناپایداری با روش‌های

^۱Folding

'Roll forming

'Bulging

در این مقاله از رابطه تنش-کرنش سوییفت که بهوسیله معادله (۱۰) بیان می گردد [۱۴]، استفاده می شود.

$$\bar{\sigma} = k(\bar{\varepsilon} + \varepsilon_0)^n \quad (10)$$

با مشتق گیری از رابطه تنش-کرنش سوییفت، رابطه (۱۱) بدست می آید.

$$\frac{d\bar{\sigma}}{d\bar{\varepsilon}} = kn(\bar{\varepsilon} + \varepsilon_0)^{(n-1)} \quad (11)$$

در این قسمت، با توجه به فرض ها و رابطه های قسمت قبل، ادامه تحلیل بر مبنای معیار تسلیم ون میسز کامل می شود. تنش مؤثر بر اساس معیار تسلیم فون میسز از رابطه (۱۲) بدست می آید [۱۴].

$$\bar{\sigma} = \frac{\sqrt{2}}{2} \sqrt{(\sigma_1 - \sigma_2)^2 + (\sigma_1 - \sigma_3)^2 + (\sigma_2 - \sigma_3)^2} \quad (12)$$

همچنین نمو کرنش مؤثر بر حسب مؤلفه های نمو کرنش اصلی از رابطه (۱۳) بدست می آید [۱۴].

$$d\bar{\varepsilon} = \frac{\sqrt{2}}{3} \sqrt{(d\varepsilon_1 - d\varepsilon_2)^2 + (d\varepsilon_1 - d\varepsilon_3)^2 + (d\varepsilon_2 - d\varepsilon_3)^2} \quad (13)$$

با ترکیب رابطه های (۱)، (۲)، (۳) با رابطه (۱۲)، تنش مؤثر بر حسب فشار داخلی به صورت رابطه (۱۴) نتیجه می شود.

$$P = \frac{2\sqrt{3}}{3} \frac{t\bar{\sigma}}{r} \quad (14)$$

با جایگذاری تنش تسلیم اولیه، σ_y (تنش بیازی $= 0$ در رابطه (۱۰)، به جای تنش مؤثر در رابطه (۱۴)، فشار متناظر با شروع تسلیم، P_y به صورت رابطه (۱۵) محاسبه می شود.

$$P_y = \frac{2\sqrt{3}}{3} \left(\frac{t_0}{r_0} \sigma_y \right) = \frac{2\sqrt{3}}{3} \left(\frac{t_0}{r_0} \right) k(\varepsilon_0)^n \quad (15)$$

فشار نایابداری، از شرط ایستادن فشار محاسبه می شود [۱۴]. ابتدا با استفاده از رابطه (۱۴)، مشتق فشار به صورت رابطه (۱۶) بدست می آید.

$$dP = \frac{2\sqrt{3}}{3} \left(\frac{t}{r} \frac{d\bar{\sigma}}{dt} + \frac{\bar{\sigma}}{r} \frac{dt}{dr} - \frac{t\bar{\sigma}}{r^2} \right) = P \left(\frac{d\bar{\sigma}}{\bar{\sigma}} + \frac{dt}{t} - \frac{dr}{r} \right) \quad (16)$$

در نتیجه شرط ایستادن فشار به رابطه (۱۷) می آید.

$$dP = 0 \rightarrow \frac{d\bar{\sigma}}{\bar{\sigma}} + \frac{dt}{t} - \frac{dr}{r} = 0 \quad (17)$$

رابطه (۱۷) با توجه به رابطه های (۵)، (۷) و (۹)، رابطه (۱۸) را نتیجه می دهد.

$$\frac{d\bar{\sigma}}{\bar{\sigma}} = -d\varepsilon_3 + d\varepsilon_1 = 2d\varepsilon_1 \quad (18)$$

از سوی دیگر، با جایگذاری رابطه های (۶) و (۹) در رابطه (۱۳) و با توجه به مثبت بودن $d\varepsilon_1$ ، رابطه (۱۹) بدست می آید.

$$d\bar{\varepsilon} = \frac{\sqrt{2}}{3} \sqrt{6(d\varepsilon_1)^2} = \frac{2}{\sqrt{3}} d\varepsilon_1 \quad (19)$$

از ترکیب رابطه های (۱۸) و (۱۹)، رابطه (۲۰) نتیجه می شود.

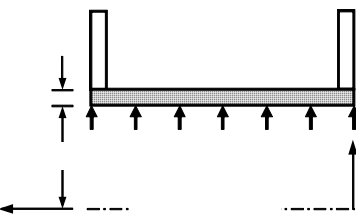
$$\frac{d\bar{\sigma}}{\bar{\sigma}} = \sqrt{3} d\bar{\varepsilon} \rightarrow \frac{d\bar{\sigma}}{d\bar{\varepsilon}} = \sqrt{3} \bar{\sigma} \quad (20)$$

با جایگذاری رابطه (۲۰) در رابطه (۱۱) و به کارگیری رابطه (۱۰)، کرنش بحرانی به صورت رابطه (۲۱) بدست می آید.

$$\bar{\varepsilon}_{cr} = n \frac{\sqrt{3}}{3} - \varepsilon_0 \quad (21)$$

با ترکیب رابطه های (۵) و (۱۹) و انتگرال گیری تا کرنش بحرانی که در رابطه (۲۱) ارائه شده، شاعع بحرانی مطابق رابطه (۲۲) بدست می آید.

تحلیلی برای شکل دهی بیلوز فلزی ارائه شده است. فشار مناسب شکل دهی، برای هر نوع ماده، به صورت تابعی از ضخامت، قابل محاسبه است. جهت تأیید تحلیل ارائه شده، نتایج آن با نتایج تجربی موجود در مراجع دیگر مقایسه شده است. در این مقاله هدف، تعیین فشار مجاز شکل دهی است. با توجه به مراحل شکل دهی که به آن اشاره شد، فقط مرحله بادکردگی مورد بررسی قرار گرفته است.



شکل ۳- مقطع یک نیم حلقه اولیه از بیلوز قرار گرفته در قالب

۲- معادلات حاکم و حل تحلیلی

برای مطالعه تحلیلی فرآیند ساخت بیلوز فلزی جهت یافتن پیشینه شکل دهی ابتدا با انجام فرض هایی، معادله های حاکم کلی ارائه می شوند. پس از آن بر اساس معیار تسلیم فون میسز، روند تحلیل و رابطه ای برای فشار مجاز استخراج خواهد شد.

با توجه به تقارن قطعه و تکرار حلقه ها، جهت تحلیل، یک حلقه مطابق شکل ۳ مورد بررسی قرار می گیرد. با توجه به این شکل می توان با تخمین خوبی از نظریه مخازن جداره-نازک برای تحلیل این مرحله استفاده کرد. بر اساس این نظریه، تنش های اصلی از رابطه های (۱) و (۲) و (۳) تعیین می شوند [۱۴].

$$\sigma_1 = \sigma_\theta = \frac{Pr}{t} \quad (1)$$

$$\sigma_2 = \sigma_z = \frac{Pr}{2t} \quad (2)$$

$$\sigma_3 = \sigma_r = 0 \quad (3)$$

در رابطه های (۱) تا (۳)، راستاهای r ، θ و z به ترتیب راستاهای شعاعی، محیطی و محوری استوانه و راستاهای اصلی مسئله هستند. راستاهای r و z در شکل ۳ نشان داده شده اند. راستای محیطی θ نیز عمود بر صفحه نشان داده در شکل ۳ است. از رابطه های (۱) و (۲)، رابطه (۴) نتیجه می شود.

$$\sigma_1 = 2\sigma_2 \quad (4)$$

با چشم پوشی از بخش الاستیک کرنش، نموهای کرنش کل اصلی از رابطه های (۵)، (۶) و (۷) تعیین می شوند [۱۴].

$$d\varepsilon_1 = d\varepsilon_\theta = \frac{dr}{r} \quad (5)$$

$$d\varepsilon_2 = d\varepsilon_z = \frac{dz}{z} = 0 \quad (6)$$

$$d\varepsilon_3 = d\varepsilon_r = \frac{dt}{t} \quad (7)$$

در نتیجه ثابت بودن حجم به رابطه (۸) منجر می شود [۱۴].

$$d\varepsilon_1 + d\varepsilon_2 + d\varepsilon_3 = 0 \quad (8)$$

ترکیب رابطه های (۶) و (۸)، رابطه (۹) را نتیجه می دهد.

$$d\varepsilon_3 = -d\varepsilon_1 \quad (9)$$

مکانیکی پلیمری فشاری مجاہد ناپایداری

$$r_{cr} = r_0 \exp\left(\frac{n - \sqrt{3}\varepsilon_0}{2}\right) \quad (22)$$

بهصورت مشابه با ترکیب رابطه‌های (۷) و (۹) و انتگرال‌گیری تا کرنش بحرانی (۲۱)، ضخامت بحرانی مطابق رابطه (۲۳) بهدست می‌آید.

$$t_{cr} = t_0 \exp\left(-\frac{n - \sqrt{3}\varepsilon_0}{2}\right) \quad (23)$$

با استفاده از کرنش بحرانی (۲۱) در رابطه سویفت، تنش مؤثر بحرانی از رابطه (۲۴) بهدست خواهد آمد.

$$\bar{\sigma}_{cr} = k \left(\frac{\sqrt{3}}{3} n\right)^n \quad (24)$$

اکنون با جایگذاری شعاع بحرانی، ضخامت بحرانی و تنش مؤثر بحرانی از رابطه‌های (۲۲)، (۲۳) و (۲۴) در رابطه (۱۴)، فشار بحرانی بهصورت رابطه (۲۵) نتیجه می‌شود.

$$P_{cr} = \left(\frac{2\sqrt{3}}{3}\right) \frac{k t_0 \exp\left(-\frac{n - \sqrt{3}\varepsilon_0}{2}\right)}{r_0 \exp\left(\frac{n - \sqrt{3}\varepsilon_0}{2}\right)} \left(n \frac{\sqrt{3}}{3}\right)^n \quad (25)$$

باید توجه داشت که در عمل تنش مؤثر نباید به مقدار بحرانی خود بررسد. بهعبارت دیگر فشار باید بهگونه‌ای تنظیم شود که تنش مؤثر بین تسلیم و ناپایداری باشد.

۳- انتخاب معیار مناسب برای محاسبه فشار نهایی

فشار نهایی مجاز باید بهگونه‌ای محاسبه شود که بیشترین تغییرشکل ممکن انجام شود، بدون آن که شرایط ناپایداری نهایی دهد. در رابطه‌های بخش پیشین مشاهده شد که فشار، ضخامت دیواره و کرنش مؤثر، سه کیت اساسی هستند که می‌توانند وضعیت تغییرشکل لوله را تعیین و مشخص نمایند. در این مقاله برای تعیین و محاسبه فشار نهایی مجاز سه فرض پیشنهاد و بررسی می‌شوند. در هر یک از این فرض‌ها، یکی از سه کمیت اشاره شده بهصورت کسری از مقدار خود در وضعیت ناپایداری نهایی در نظر گرفته می‌شوند. در فرض اول تفاضل ضخامت اولیه و ضخامت نهایی مجاز، $(t_0 - t_{cr})$ ، برابر کسری از تفاضل ضخامت اولیه و ضخامت بحرانی ناپایداری، $(t_0 - t_{cr})$ ، در نظر گرفته می‌شود. در فرض دوم، کرنش مؤثر نهایی مجاز، $\bar{\epsilon}_{cr}$ ، در نظر گرفته می‌شود. در فرض سوم تفاضل فشار نهایی مجاز و فشار تسلیم، $(P_{cr} - P_y)$ ، برابر کسری از تفاضل بحرانی ناپایداری و فشار تسلیم، $(P_{cr} - P_y)$ ، در نظر گرفته می‌شود. اساس هر یک از این فرض‌ها آن است که شرایط شکل‌دهی با یک ضریب اطمینان بزرگتر از واحد، با شرایط متناظر با حالت ناپایداری نهایی فاصله داشته باشد.

باتوجه به کاربردهای بیلوز، یکی از پرمصرف‌ترین مواد برای انتخاب بهعنوان جنس این قطعه یکی از انواع آلیاژهای 316L است. این آلیاژ در دسته‌بندی فولادها بهعنوان فولاد زنگنزن استینیتی شناخته می‌شود. خواص مکانیکی این فولاد در جدول ۱ و مشخصات اندازه لوله اولیه در جدول ۲ آمده است. شعاع و ضخامت در جدول ۲ از مرجع [۱۵] جهت مقایسه با نتایج تجربی این مرجع برگرفته شده‌اند.

جدول ۱- خواص مکانیکی فولاد 316L						
ρ (Kg/m³)	E(GPa)	v	σ_{Yield} (Mpa)	σ_{UTS} (Mpa)	k(Mpa)	n
۸۰۰۰	۲۰۰	۰.۳۳	۲۲۲	۸۸۵	۱۲۷۷	۰.۴۵۶

جدول ۲- شعاع و ضخامت لوله اولیه مورد بررسی

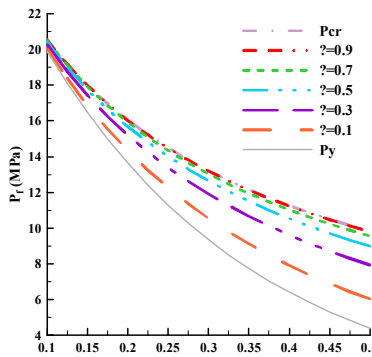
r_0 (mm)	t_0 (mm)
۶۱	۰.۱۲

۳- تعیین فشار نهایی مجاز بر اساس معیار ضخامت

همان‌گونه که اشاره شد، بر اساس معیار ضخامت، فشار مجاز نهایی بهگونه‌ای محاسبه می‌شود که تفاضل ضخامت اولیه و ضخامت نهایی مجاز، $(t_0 - t_{cr})$ ، برابر کسری از تفاضل ضخامت اولیه و ضخامت بحرانی ناپایداری، $(t_0 - t_{cr})$ ، باشد. بر این اساس رابطه (۲۶) برای تعیین ضخامت نهایی مجاز شکل‌دهی پیشنهاد می‌شود.

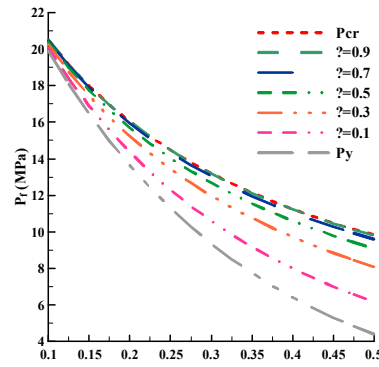
$$t_f = t_0(1 - \xi) + \xi(t_{cr}), \quad 0 < \xi < 1 \quad (26)$$

در رابطه (۲۶)، شرط ≤ 1 تضمین می‌کند ضخامت نهایی مجاز از ضخامت بحرانی کوچکتر باشد ($t_f < t_{cr}$). برای بررسی و ارزیابی این معیار، فشار نهایی مجاز شکل‌دهی بهازاری مقدارهای مختلف ξ ، بر حسب تغییرات توان کارسختی، n ، در شکل ۴ رسم شده است. در رسم این نمودارها، بهجز توان کارسختی که بهعنوان متغیر مستقل در نظر گرفته شده است، مشخصه‌های هندسی و مکانیکی برای لوله از جدول‌های ۱ و ۲ انتخاب شده‌اند.



شکل ۴- نمودار P_f بر حسب n بهازای مقدارهای مختلف ضریب ξ بر اساس معیار ضخامت

همان‌گونه که در شکل ۴ مشاهده می‌شود، با افزایش ξ از صفر به ۱، نمودار فشار از نمودار مربوط به شروع تسلیم به نمودار مربوط به حالت ناپایداری نزدیک می‌شود. این نتیجه مطابق انتظار است. اما نکته‌ای که باید به آن توجه شود آن است که بهازای ≥ 0.5 نمودارها به نمودار مربوط به حالت ناپایداری سیار نزدیک می‌شوند. تعیین شرایط نهایی مجاز بر اساس معیار ضخامت بهمنفوم آن است که ضخامتی مانند t_f در محدوده $t_0 \leq t_f \leq t_{cr}$ باشد، بهعنوان پارامتر تعیین شرایط نهایی مجاز شکل‌دهی، پیشنهاد شود. برای مثال شرایط بهازای $\xi = 0.5$ بررسی می‌شود. مشاهده می‌شود بهازای $\xi = 0.5$ برای آن که ضخامت از t_0 به t_{cr} کاهش یابد (معادل $\xi = 0.5(t_0 + t_{cr}) - t_0$)، فشار باید از $0.5P_y$ به P_y (MPa) افزایش یابد. از سوی دیگر برای $\xi = 0.5$ فشار آستانه‌ی ناپایداری $= 11P_{cr}/3$ (MPa).



شکل ۵- نمودار P_f بر حسب n بهازای مقدارهای مختلف ضربی ξ ، بر اساس معیار کرنش

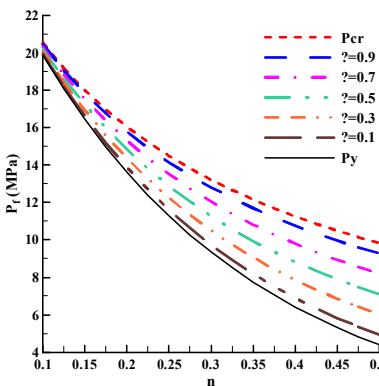
به عبارت دیگر بر اساس معیار کرنش نیز برای آن که شکل دهی کافی و مناسبی انجام شده باشد، فشار متناظر (فشار نهایی مجاز) خیلی نزدیک به فشار بحرانی ناپایداری خواهد بود. از این رو معیار کرنش مؤثر نیز نمی‌تواند معیار مناسبی برای تعیین فشار نهایی مجاز باشد.

۳-۳- تعیین فشار نهایی مجاز بر اساس معیار فشار

با توجه به مشکلی که در بررسی دو معیار ضخامت و کرنش مشاهده شد، طبیعی به نظر می‌رسد که خود فشار شکل دهی مبنای تعیین شرایط مربوط به شکل دهی مجاز نهایی قرار داده شود. مشابه آن‌چه برای دو معیار پیشین گفته شد، بر اساس معیار فشار، شرایط متناظر با وضعیت شکل دهی نهایی مجاز به گونه‌ای پیشنهاد می‌شود که تفاصل فشار نهایی مجاز و فشار تسليیم، ($P_{cr}-P_y$)، برابر کسری از تفاصل بحرانی ناپایداری و فشار تسليیم، ($P_{cr}-P_f$)، باشد. برای این منظور رابطه (۲۸) برای تعیین فشار نهایی مجاز پیشنهاد می‌شود.

$$P_f = P_y(1 - \xi) + \xi(P_{cr}) \quad (28)$$

همانند دو معیار گذشته روشن است که شرط ≤ 14 در رابطه (۲۷) تضمین می‌کند فشار نهایی مجاز از فشار بحرانی کوچکتر باشد ($P_f < P_{cr}$). برای ارزیابی معیار فشار، مانند دو معیار پیشین، نمودار فشار نهایی مجاز شکل دهی بهازای مقدارهای مختلف ξ در رابطه (۲۸)، بر حسب تغییرات توان کارسختی، n ، در شکل ۶ رسم شده است.



شکل ۶- نمودار P_f بر حسب n بهازای مقدارهای مختلف ضربی ξ ، بر اساس معیار فشار

است. بنابراین برای آن که ξ از صفر به 0.5 افزایش یابد، فشار باید به اندازه 4.1 (MPa) افزایش یابد. در حالی که برای افزایش ξ از 0.5 به 1 که متناظر با رسیدن به آستانه ناپایداری است، تنها 0.8 (MPa) افزایش فشار کافی است. به بیان دیگر برای تغییر ضخامت در 50% نخست از بازه‌ی مجاز $(t_0 - t_{cr})$ به 0.5 دوم از بازی مجاز $(t_0 - t_{cr})$ در حالی که برای تغییر ضخامت در 50% نخست از بازه‌ی مجاز $(t_0 - t_{cr})$ به 0.8 (MPa) افزایش یابد. به همین دلیل است که در شکل (۴) بهازای ≥ 5 نمودارها بسیار به هم نزدیک شده‌اند. این موضوع از جهت دیگری نیز می‌تواند بررسی شود. برای شرایطی که در بالا بررسی شد، ضخامت آستانه ناپایداری $t_{cr}/8 = t_0$ است. بنابراین برای کاهش حدود 10% ضخامت اولیه در این حالت، لازم است فشار به حدود 10.5 (MPa) افزایش یابد که این فشار تنها 0.5 کمتر از فشار آستانه ناپایداری است. این موضوع به معنی آن است که بر اساس معیار میزان کاهش ضخامت، برای آن که شکل دهی کافی و مناسبی انجام شده باشد، فشار مجاز نهایی خیلی نزدیک به فشار بحرانی ناپایداری خواهد بود. به گونه‌ای که خطای کوچکی در کنترل فشار می‌تواند سبب بروز ناپایداری و در نتیجه شکست در قطعه شود. بر این اساس معیار ضخامت نمی‌تواند معیار مناسبی برای تعیین فشار نهایی مجاز باشد.

۳-۴- تعیین فشار نهایی مجاز بر اساس معیار کرنش مؤثر

مشابه معیار ضخامت، بر اساس معیار کرنش، فشار مجاز نهایی به گونه‌ای محاسبه می‌شود که کرنش مؤثر نهایی مجاز، $\bar{\xi}_f$ ، برابر کسری از کرنش مؤثر بحرانی ناپایداری، $\bar{\xi}_{cr}$ ، باشد. به این ترتیب رابطه (۲۷) برای تعیین کرنش مؤثر نهایی مجاز پیشنهاد می‌شود.

$$\bar{\xi}_f = \xi(\bar{\xi}_{cr}) \quad , \quad 0 < \xi < 1 \quad (27)$$

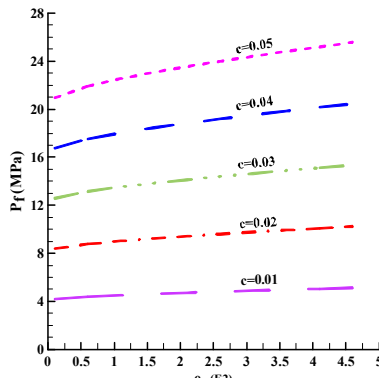
در اینجا نیز شرط ≤ 14 در رابطه (۲۷) تضمین می‌کند کرنش مؤثر نهایی مجاز از کرنش مؤثر بحرانی کوچکتر باشد ($\bar{\xi}_f < \bar{\xi}_{cr}$). به صورت مشابه، برای بررسی و ارزیابی معیار کرنش، فشار نهایی مجاز شکل دهی بهازای مقدارهای مختلف ξ ، بر حسب تغییرات توان کارسختی، n ، در شکل ۵ رسم شده است. در رسم این نمودارها نیز به جز توان کارسختی که به عنوان متغیر مستقل در نظر گرفته شده است، مشخصه‌های هندسی و مکانیکی برای لوله از جدول‌های ۱ و ۲ انتخاب شده‌اند.

همان‌گونه که انتظار می‌رود و در شکل ۵ نیز مشاهده می‌شود، با افزایش ξ از صفر به 1 ، نمودار فشار از نموار مربوط به شروع تسليیم به نمودار مربوط به حالت ناپایداری نزدیک می‌شود. اما همانند معیار ضخامت، برای معیار کرنش نیز بهازای ≥ 5 نمودارهای فشار به نمودار مربوط به حالت ناپایداری بسیار نزدیک می‌شوند. در نتیجه درباره نامناسب بودن کرنش مؤثر به عنوان معیاری برای تعیین شرایط نهایی مجاز شکل دهی، استدلال مشابهی می‌توان ارائه کرد.

استحکام، c ، می‌شوند. برای این منظور، به جز پارامتر مادی که متغیر در نظر گرفته می‌شود، دو پارامتر مادی دیگر بر اساس داده‌های مادی جدول ۱ انتخاب می‌شوند. برای بررسی اثر هندسه لوله بر فشار نهایی مجاز، نسبت ضخامت دیواره به شاعع لوله مطابق رابطه (۳۰) تعریف می‌شود.

$$c = \frac{t_0}{r_0} \quad (30)$$

با معرفی این نسبت، در هر مرحله نمودار فشار بهازی مقادرهای مختلف نسبت هندسی c رسم می‌شوند. شکل ۷ نمودار فشار نهایی مجاز را بر حسب کرنش جبرانی، بهازی مقادرهای مختلف نسبت ضخامت به شاعع لوله را کنجد. همان‌گونه در این شکل مشاهده می‌شود، افزایش کرنش جبرانی در یک بازه بزرگ که برای فلزها متدوال است، سبب افزایش کمی در فشار نهایی مجاز می‌شود. اما این افزایش قابل توجه نیست. همچنان فشار نهایی مجاز متناسب با افزایش نسبت ضخامت به شاعع لوله، c ، افزایش می‌یابد.



شکل ۷- نمودار فشار نهایی مجاز، P_e ، بر حسب کرنش جبرانی، ϵ_0 ، بهازی مقادرهای مختلف نسبت ضخامت به شاعع.

این موضوع به دلیل آن است که مطابق رابطه‌های (۱۵) و (۲۵)، هم فشار تسليیم و هم فشار ناپایداری متناسب نسبت هندسی c هستند. در نتیجه فشار نهایی مجاز نیز که ترکیب خطی از این دو فشار است با نسبت هندسی c متناسب است.

در شکل ۸ نمودار فشار نهایی مجاز بر حسب توان کرنش-سختی، بهازی مقادرهای مختلف نسبت ضخامت به شاعع لوله نشان داده شده است. نمودارهای شکل ۸ نشان می‌دهند با افزایش توان کرنش-سختی، فشار نهایی مجاز کاهش می‌یابد. این کاهش به دلیل آن است که کرنش‌ها از ۱ کوچکتر هستند. در نتیجه هنگامی که توان کرنش-سختی افزایش می‌یابد، کرنش‌ها به توان بزرگتری می‌رسند و حاصل، مقداری کوچکتر خواهد بود. در این نمودار نیز افزایش تناسی فشار نهایی مجاز با افزایش نسبت هندسی c دیده می‌شود.

نمودارهای شکل ۶ نیز بهازی مشخصه‌های هندسی و مکانیکی برای لوله از جدول‌های ۱ و ۲ محاسبه و رسم شده‌اند. همان‌گونه که انتظار می‌رود، با توجه به رابطه خطی فشار بر حسب ضریب α ، مشاهده می‌شود که فشار نهایی مجاز، متناسب با افزایش ضریب α ، به فشار بحرانی ناپایداری نزدیک می‌شود. به همین دلیل، برخلاف روند نمودارها در شکل‌های ۴ و ۵، فاصله بین نمودارها با ضریب α متناسب است. از این‌رو می‌توان فشار را به عنوان پارامتری که شرایط نهایی مجاز شکل دهی بر اساس آن تعیین می‌شود، انتخاب نمود. با توجه به نتایج شکل ۶، رعایت حاشیه اطمینان $\alpha = 0.2$ تا 0.3 تا 0.4 ، انتخاب مناسبی برای فشار نهایی مجاز با ضریب اطمینان $\alpha = 0.25$ تا 0.3 ، انتخاب مناسبی برای فشار نهایی مجاز است. بر این اساس فشار نهایی مجاز، متناظر با ضریب $\alpha \leq 0.7$ و مطابق رابطه (۲۹)، به عنوان فشار نهایی مجاز پیشنهاد می‌شود.

$$(0.3P_y + 0.7P_{cr}) \leq (0.2P_y + 0.8P_{cr}) \quad (29)$$

۴- بررسی اثر پارامترها بر فشار نهایی مجاز

پس از انتخاب معیار مناسب برای محاسبه فشار نهایی مجاز شکل دهی، در این بخش ابتدا معیار معرفی شده ارزیابی و اعتبارسنجی می‌شود. سپس اثر پارامترهای مختلف مادی در مدل سویفت بر فشار نهایی مجاز بررسی می‌شوند.

۱-۱- ارزیابی و اعتبارسنجی معیار پیشنهادی فشار مجاز

برای ارزیابی و اعتبارسنجی معیار پیشنهاد شده در این مقاله برای محاسبه فشار نهایی مجاز، از نتایج آزمایش تحریی انجام شده در مرجع [۱۵] استفاده می‌شود. مشخصه‌های مکانیکی و هندسی لوله به کار رفته در آزمایش مرجع [۱۵] در جدول‌های ۱ و ۲ ارائه شدند. عربیگی و همکارانش [۱۵] در آزمایش‌های خود، فشار مناسب برای مرحله بادکردگی به منظور شکل دهی مناسب بیلوز از لوله با مشخصه‌های جدول ۱ و ۲ را به دست آورده‌اند. با توجه به تعريف فشار نهایی مجاز در این مقاله، در حقیقت فشار تحریی پیشنهاد شده در مرجع [۱۵] همان فشار نهایی مجاز است. در جدول ۳ فشار تحریی پیشنهادی مرجع [۱۵] با فشار مجاز نهایی محاسبه شده بر اساس معیار تحلیلی رابطه [۲۹] مقایسه شده‌اند. خطای حدود $\pm 8\%$ بین نتیجه تحریکی و تحلیلی، نشان می‌دهد معیار تحلیلی پیشنهادی در رابطه (۲۹) برای فشار نهایی مجاز در شکل دهی بیلوز، از اعتبار مناسبی برخوردار است.

جدول ۳- فشار نهایی مجاز تحلیلی با نتیجه تحریکی مرجع [۱۵]، برای لوله با مشخصه‌های جدول ۱ و ۲

[۱۵]	تجربی (رابطه (۲۹))	تحلیلی (رابطه (۲۹))	روش محاسبه فشار
۹,۱۰-۵	۸,۹-۷۳,۲۲	(MPa)	بازه پیشنهادی برای فشار

۲-۴- بررسی اثر پارامترهای مادی بر فشار نهایی مجاز

پس از تأیید اعتبار مدل تحلیلی ارائه شده برای پیش‌بینی فشار نهایی مجاز، در این بخش اثر پارامترهای مادی مدل سویفت و نسبت ضخامت به شاعع لوله، بر فشار نهایی مجاز بررسی می‌شوند. پارامترهای مادی شامل کرنش جبرانی، ϵ_0 ، توان کرنش-سختی، n ، و ضریب

جبرانی،^{۴۰} کمترین اثر را بر فشار نهایی مجاز دارد. همچنین فشار نهایی مجاز به صورت خطی با ضریب استحکام، ϵ_0 ، و همچنین نسبت هندسی، C ، افزایش می‌یابد.

۵- نتیجه‌گیری

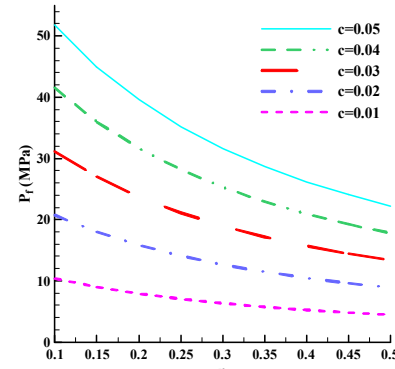
در این مقاله روشی تحلیلی برای تعیین و پیش‌بینی فشار نهایی مجاز در مرحله بادکردگی در فرآیند ساخت بیلوزها به روش هیدروفرمینگ ارائه شده است. این روش بر اساس نظریه مخزن‌های استوانه‌ای جداره‌نازک درسته، تحت فشار داخلی، است. فرض می‌شود با افزایش فشار، شکل استوانه حفظ شود. به‌گونه‌ای که تنها شاعع و ضخامت آن تغییر کند. از تغییر شکل الاستیک چشم‌پوشی شده و رابطه سوییفت برای منحنی تنش-کرنش ماده انتخاب شده است. با استفاده از شرط ناپایداری در کشش، فشار بحرانی و کرنش مؤثر بحرانی در لحظه ناپایداری تعیین شده‌اند. در ادامه سه معیار برای محاسبه فشار نهایی مجاز پیشنهاد و بررسی شده است. پس از انتخاب معیار مناسب، فشار نهایی مجاز به صورت تحلیلی برای شرایط یک آزمون تجریی از پژوهش‌های پیشین محاسبه و با نتیجه تجریی پیشنهادی مرجع مقایسه شد. خطای نزدیک به ۸٪ نشان‌دهنده اعتبار تحلیل و معیار ارائه شده است. در پایان اثر پارامترهای ماده در رابطه سوییفت و همچنین نسبت هندسی ضخامت به شاعع لوله، بر فشار نهایی مجاز بررسی شد. نتایج نشان می‌دهد توان کرنش-سختی بیشترین اثر را بر تغییر فشار نهایی مجاز دارد. به‌گونه‌ای که هر چه این توان کوچکتر باشد، فشار نهایی مجاز بزرگتر خواهد بود. در مقابل کرنش جبرانی،^{۴۰} کمترین اثر را بر فشار نهایی مجاز دارد. همچنین فشار نهایی مجاز به صورت خطی با ضریب استحکام، ϵ_0 ، و همچنین نسبت هندسی، C ، افزایش می‌یابد.

لازم است یادآوری است که همه مقدارهای در نظر گرفته شده برای پارامترهای مادی، لزوماً ممکن است متناظر با مشخصه فیزیکی یک ماده واقعی نباشد. اما تغییر پیوسته این کمیت‌ها در هنگام بررسی اثر پارامترها، این امکان را فراهم می‌سازد که اثر تغییر آن پارامتر بر خصوصیت یا ویژگی مورد بررسی به صورت کامل‌تر درک شود. ضمن آن که تعیین دقیق مقدارهای یک پارامتر که نشان‌گر مشخصه مکانیکی یک ماده واقعی و حقیقی باشد، در عمل امکان‌پذیر نیست.

بر اساس جستجوی نگارندهان، در پژوهش‌های پیشین مطالعه تحلیلی برای تعیین فشار مجاز در شکل‌دهی بیلوزهای فلزی به روش هیدروفرمینگ انجام نشده است.

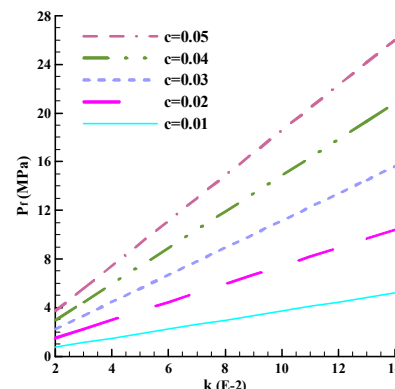
۶- نمادها

نسبت ضخامت به شاعع	c
مدول الاستیسیته (MPa)	E
ضریب استحکام ماده در رابطه سوییفت (MPa)	k
توان کرنش-سختی در معادله سوییفت	n
فشار در لحظه شروع تسیم (MPa)	P_y
فشار نهایی مجاز شکل‌دهی (MPa)	P_f
فشار بحرانی در لحظه ناپایداری (MPa)	P_{cr}



شکل ۸- نمودار فشار نهایی مجاز، P_f ، بر حسب توان کرنش-سختی، n . به‌ازای مقدارهای مختلف نسبت ضخامت به شاعع، c .

به عنوان پارامتر مادی سوم، اثر افزایش ضریب استحکام در رابطه سوییفت، ϵ_0 ، بر فشار نهایی مجاز در شکل ۹ نمایش داده شده است. نمودارهای شکل ۹ نشان می‌دهند با افزایش ضریب استحکام، فشار نهایی مجاز نیز به صورت خطی افزایش می‌یابد. دلیل خطی بودن این افزایش این است که بر اساس رابطه‌های (۱۵) و (۲۵)، هم فشار آغاز تسیم و هم فشار ناپایداری متناسب با ضریب استحکام هستند.



شکل ۹- نمودار فشار نهایی مجاز، P_f ، بر حسب ضریب استحکام، k . به‌ازای مقدارهای مختلف نسبت ضخامت به شاعع، c .

در نتیجه فشار نهایی مجاز نیز که به صورت ترکیب خطی این دو فشار تعریف شده است (رابطه (۲۸)) با افزایش ضریب استحکام به صورت خطی افزایش می‌یابد. لازم است یادآوری شود که بازه تغییرات هر یک از سه پارامتر مادی، ϵ_0 ، n و k به‌گونه‌ای انتخاب شده که بر اساس گزارش متن‌های علمی موجود، دربرگیرنده مقدار این پارامترها برای فلزهای مختلف، باشد. بازه تغییر نسبت هندسی C نیز به‌گونه‌ای انتخاب شده که فرض جداره‌نازک بودن مخزن اعتبار داشته باشد.

در مقایسه نمودارها در سه شکل ۷، ۸ و ۹، می‌توان نتیجه گرفت که بین سه پارامتر مادی در رابطه سوییفت، توان کرنش-سختی، n ، بیشترین اثر را بر فشار نهایی مجاز دارد. به‌گونه‌ای که هر چه این توان کوچکتر باشد، فشار نهایی مجاز بزرگتر خواهد بود. در مقابل کرنش

[13] Pierce O. and Evans S. L., Failure Analysis of a Metal Bellows Flexible Hose Subjected to Multiple Pressure Cycles, <i>Engineering Failure Analysis</i> , Vol. 2, No.1, pp. 11-20, 2012.	r_0	شعاع اولیه لوله (mm)
[14] ASM Metals Handbook, <i>Forming and Forging</i> , ASM International, Vol. 14, 9 th Edition, pp. 324-342, 1998.	r_{cr}	شعاع لوله در لحظه ناپایداری (mm)
[۱۵] عرب‌بیگی، م.، مرادی، م.، قاسمی، ب. و خلیلیان، م.، بررسی تغییر ضخامت بیلوزهای فلزی بهروش هیدروفرمینگ از لوله‌های جدارنازک فولاد زنگزن ۳۱۶L، نشریه علم مواد، ۵، ش. ۳، ص ۴۳-۴۹، ۱۳۸۹.	t_0	ضخامت اولیه لوله (mm)
	t_{cr}	ضخامت لوله در لحظه ناپایداری (mm)
	$\bar{\epsilon}$	کرنش‌های اصلی $\epsilon_1, \epsilon_2, \epsilon_3$
	$\bar{\epsilon}_f$	کرنش مؤثر (معادل) کرنش نهایی مجاز
	σ_y	تنش تسليمی (MPa)
	σ_{UTS}	تنش در نقطه گلویی (MPa)
	$\bar{\sigma}$	تنش مؤثر (معادل) (MPa)
	$\sigma_1, \sigma_2, \sigma_3$	تنش‌های اصلی

۷- مراجع

- [1] Expansion Joints, <http://www.usbellows.com>, Accessed Nov 15, 2015.
- [2] Jakubauska V. and Weaver D. S., Transverse Natural Frequencies and Flow Induced Vibrations of Double Bellows Expansion Joints, *Fluids and Structures*, Vol. 13, No. 1, pp. 461-479, 1999.
- [3] Satoshi I., Hiroshi K. and Masanori K., Evaluation of Mechanical Behavior of New Type Bellows with Two Directional Convolutions, *Nuclear Engineering & Design*, Vol. 19, No.1, pp. 107-114, 2000.
- [4] Becht C., Fatigue of Bellows a New Design Approach, *Pressure Vessels & Piping*, Vol. 77, No. 1, pp. 842-850, 2000.
- [5] Zhu Y. Z., Wang H. F. and Sang Z. F., The Effect of Environmental Medium on Fatigue Life for U-Shaped Bellows Expansion Joints, *Fatigue*, Vol. 28, No. 1, pp. 28-32, 2006.
- [6] Kang B. H., Lee M. Y., Shon S. M. and Moon Y. H., Forming Various of Tubular Bellows Using a Single-Step Hydroforming Process, *Materials processing Technology*, Vol. 194, No. 1-3, pp. 1-6, 2007.
- [7] Lee S. W., Study on the Forming Parameters of the Metal Bellows, *Material Processing Technology*, Vol. 130-131, No. 1, pp. 47-53, 2002.
- [8] Kang B. H., Lee M. Y., Shon S. M. and Moon Y. H., Forming Various Shapes of Tubular Bellows Using a Single-Step Hydroforming Process, *Material Processing Technology*, Vol. 194, No. 1, pp. 1-6, 2007.
- [9] Faraji G., Mosavi Mashhadi M. and Norouzifard V., Evaluation of Effective Parameters in Metal Bellows Forming Process, *Materials Processing Technology*, Vol. 209, No. 7, pp. 63-71, 2009.
- [۱۰] عرب‌بیگی، م.، مرادی، م.، قاسمی، ب. و ستار، م.، بررسی تحلیلی، تحریبی و شبیه‌سازی تأثیر فشار داخلی فرآیند هیدروفرمینگ، بر بیلوزهای تولیدشده از لوله‌های جدارنازک فولاد ضدزنگ ۳۱۶L، فصلنامه فرآیندهای توین ساخت و تولید، ۵، ش. ۲، ص ۴۵-۵۱، ۱۳۸۹.
- [۱۱] الیاسی، م.، بخشی، م.، گرجی، ع. و علی‌نژاد، م.، بررسی امکان شکل‌دهی لوله‌های کنگره‌ای (Bellows) در فرآیند هیدروفرمینگ لوله در قالب بسته با استفاده از شبیه‌سازی اجزای محدود، دومین کنفرانس بین‌المللی و هشتادمین کنفرانس ملی مهندسی ساخت و تولید، تهران، ایران، ۱۳۸۶.
- [12] Asnafi N., Analytical Modeling of Tube Hydroforming, *Thin-Walled Structures*, Vol. 34, No. 4, pp. 295-330, 1999.